



Laboratorium Badań Środowiskowych
ul. Józefa Piasta Dziekońskiego 3
00-728 Warszawa
e-mail: Laboratorium@networks.pl



AB 419

S P R A W O Z D A N I E 5331/2021/OS
Z POMIARÓW PÓŁ ELEKTROMAGNETYCZNYCH
WYKONANYCH DLA POTRZEB OCHRONY ŚRODOWISKA

Badany obiekt: Instalacja radiokomunikacyjna T-Mobile Polska S.A.
Numer i nazwa: 46277 (76277N!) PWR_WROCŁAW_SZTABOWA
Adres: WROCŁAW, SZTABOWA 101 DZ.49/2, Powiat m. Wrocław, WOJ. DOLNOŚLĄSKIE

Data wykonania pomiarów: 2021-09-08

Sprawozdanie z badań bez pisemnej zgody laboratorium nie może być powielane inaczej niż w całości.
Wynik przedstawione w niniejszym sprawozdaniu odnoszą się wyłącznie do badanego obiektu i do warunków i konfiguracji
urządzeń w dniu wykonywania pomiarów.

1. Właściciel badanego obiektu:

T-Mobile Polska S.A., ul. Marynarska 12, 02-674 Warszawa

2. Zleceniodawca:

T-Mobile Polska S.A., ul. Marynarska 12, 02-674 Warszawa

3. Przedstawiciel zleceniodawcy:

NetWorkS! Sp.z o.o.

4. Zakres zlecenia:

Wykonanie badania i opracowanie sprawozdania z pomiarów natężenia pola elektrycznego i pola magnetycznego dla instalacji radiokomunikacyjnej T-Mobile Polska S.A. zlokalizowanej w miejscowości WROCŁAW, SZTABOWA 101 DZ.49/2.

5. Cel zlecenia:

Wykonanie pomiarów pól elektromagnetycznych w otoczeniu instalacji radiokomunikacyjnej 46277 (76277N!) PWR_WROCLAW_SZTABOWA w odniesieniu do wymagań określonych w Rozporządzeniu Ministra Klimatu z dnia 17 lutego 2020 r. w sprawie sposobów sprawdzania dotrzymania dopuszczalnych poziomów pól elektromagnetycznych w środowisku (Dz. U. 2020, poz. 258).

6. Pomiary zostały wykonane przez:

Harbacewicz Maciej
Ciesielski Daniel

7. Informacje o źródłach pól elektromagnetycznych

7.1. Sposób identyfikacji badanych źródeł pól elektromagnetycznych

Identyfikacji źródeł i parametrów technicznych dokonano na podstawie analizy dokumentacji dotyczącej zlecenia oraz obserwacji miejsca wykonywania badań.

7.2. Opis miejsca zainstalowania anten i urządzeń technicznych. Opis obiektu badań i jego otoczenia

Instalacja radiokomunikacyjna zlokalizowana jest na terenie ogrodzonym. Anteny zawieszono na wieży strunobetonowej. Urządzenia sterujące oraz zasilające zainstalowano w kontenerze u podstawy wieży. Wokół instalacji znajduje się miasto.

Instalacja radiokomunikacyjna jest obiektem bezobsługowym. Okresowe stanowiska pracy związane są z prowadzonymi w zależności od potrzeb konserwacjami, przeglądami, strojeniem i naprawami.

Sprawozdanie z badań bez pisemnej zgody laboratorium nie może być powielane inaczej niż w całości.
Wynik przedstawione w niniejszym sprawozdaniu odnoszą się wyłącznie do badanego obiektu i do warunków i konfiguracji urządzeń w dniu wykonywania pomiarów.

7.3. Parametry techniczne źródła pola elektromagnetycznego

Dane przedstawiające maksymalne parametry pracy instalacji przekazane przez zleceniodawcę:

Parametry systemu nadawczo-odbiorczego:

Charakterystyka promieniowania		kierunkowa					
Rzeczywisty czas pracy [h/dobę]		24					
Warunki pracy		znamionowe					
Rodzaj wytwarzanego pola		stacjonarne					
Lp.	Częstotliwość lub zakresy częstotliwości pracy [MHz]	Typ/producent anteny	liczba anten	Azymut [°]	kat pochylenia* [°]	Wysokość środka elektrycznego anteny [m n.p.t]	Równoważna moc promieniowania izotropowo (EIRP) [W]
1	2100/ 900/ 1800/ 900	ATR4518R13v06 Huawei	1	110	6/ 6/ 6/ 6	28.8	7397
2	800/ 2600	ATR4518R13v06 Huawei	1	110	6/ 6	28.8	4999
3	900/ 1800/ 900/ 2100	ATR4518R13v06 Huawei	1	230	6/ 6/ 6/ 6	28.8	7397
4	2600/ 800	ATR4518R13v06 Huawei	1	230	6/ 6	28.8	4999
5	900/ 1800/ 900/ 2100	ATR4518R13v06 Huawei	1	355	6/ 6/ 6/ 6	28.8	7035
6	800/ 2600	ATR4518R13v06 Huawei	1	355	6/ 6	28.8	4999

* wskazane wartości kąta pochylenia anten, zgodnie z informacją uzyskaną od zleceniodawcy, są wartościami stałymi

Transmisja realizowana drogą kablową

7.4 Inne źródła pól elektromagnetycznych

Na podstawie informacji otrzymanych od użytkownika oraz obserwacji otoczenia miejsca wykonywania pomiarów oraz nie stwierdzono występowania innych źródeł pola-EM

8. Opis pomiarów

8.1. Metoda badań

Zgodna z rozporządzeniem Ministra Klimatu z dnia 17 lutego 2020 r. w sprawie sposobów sprawdzania dotrzymania dopuszczalnych poziomów pól elektromagnetycznych w środowisku (Dz. U. 2020, poz. 258), określona w pkt 25 ppkt 1 załącznika do niniejszego rozporządzenia.

Zgodnie z art. 122a ust. 1b ustawy Prawo Ochrony Środowiska, w przypadku wprowadzenia na części albo całym terytorium Rzeczypospolitej Polskiej stanu nadzwyczajnego, o którym mowa w art. 228 ust. 1 Konstytucji Rzeczypospolitej Polskiej z dnia 2 kwietnia 1997 r. (Dz. U. poz. 483, z 2001 r. poz. 319, z 2006 r. poz. 1471 oraz z 2009 r. poz. 946), lub stanu zagrożenia epidemicznego lub stanu epidemii, o których mowa w art. 46 ustawy z dnia 5 grudnia 2008 r. o zapobieganiu oraz zwalczaniu zakażeń i chorób zakaźnych u ludzi (Dz. U. z 2019 r. poz. 1239, z późn. zm.8)), pomiarów , nie przeprowadza się w lokalach mieszkalnych oraz w lokalach użytkowych zlokalizowanych na terytorium objętym stanem nadzwyczajnym, stanem zagrożenia epidemicznego lub stanem epidemii.

W związku z obecnie obowiązującym stanem epidemii, pomiarów nie wykonano w lokalach mieszkalnych oraz w lokalach użytkowych zlokalizowanych w obszarze pomiarowym przedmiotowej instalacji radiokomunikacyjnej.

8.2. Termin pomiarów i warunki środowiskowe

Podczas wykonywania pomiarów pól elektromagnetycznych nie występowały opady atmosferyczne. Wyniki pomiaru parametrów pogodowych przedstawia poniższa tabela:

Data [rrrr-mm- dd]	Godzina [hh:mm-hh:mm]	Warunki środowiskowe			
		Temperatura [°C]	Wilgotność względna [%]	Przed pomiarem	Po pomiarach
2021-09-08	16:00-17:30	25.2	54.1	25.3	53.8

Sprawozdanie z badań bez pisemnej zgody laboratorium nie może być powielane inaczej niż w całości.
Wynik przedstawione w niniejszym sprawozdaniu odnoszą się wyłącznie do badanego obiektu i do warunków i konfiguracji urządzeń w dniu wykonywania pomiarów.

Przedstawione wyżej warunki środowiskowe, występujące podczas wykonywania pomiarów pól elektromagnetycznych, są zgodne ze specyfikacją techniczną użytego zestawu pomiarowego.

8.3. Warunki pracy urządzeń nadawczych

Podczas pomiarów zostały uwzględnione poprawki pomiarowe przekazane przez zleceniodawcę, umożliwiające uwzględnienie maksymalnych parametrów pracy instalacji zgodnie z pkt 7 załącznika do Rozporządzeniem Ministra Klimatu z dnia 17 lutego 2020 r. w sprawie sposobów sprawdzania dotrzymania dopuszczalnych poziomów pól elektromagnetycznych w środowisku (Dz. U. 2020, poz. 258).

8.4. Wyposażenie pomiarowe

Zestaw pomiarowy służący do pomiaru natężenia składowej elektrycznej pola elektromagnetycznego złożony z szerokopasmowego miernika i sondy pomiarowej:

Oznaczenie miernika	Producent	Model	Numer fabryczny	Oznaczenie sondy	Producent	Model	Numer fabryczny
M-03Z	Narda Safety Test Solution	Miernik pól elektromagnetycznych NBM-550	G-0622	S-31	Narda Safety Test Solution	Sonda EF-6092	C-0193

Mierniki natężenia pola elektromagnetycznego podlegają okresowemu sprawdzeniu zgodnie z procedurą wewnętrzną P-03 i PB-01. Świadectwo wzorcowania zestawu pomiarowego z dnia 2 marca 2021 o numerze LWiMP/W/059/21 wydane przez Politechnika Wrocławską.

Data ważności świadectwa wzorcowania: 2 marca 2023 (zgodnie z procedurą wewnętrzną P-03).

Termohigrometr:

Oznaczenie:	TH-13	Producent:	AZ INSTRUMENT CORP	Model:	Termohigrometr AZ8706
-------------	-------	------------	--------------------	--------	-----------------------

Data ważności świadectwa wzorcowania: 30 grudnia 2022 (zgodnie z procedurą wewnętrzną P-03).

Dalmierz:

Oznaczenie	Producent	Typ	Numer seryjny	Nr świadectwa wzorcowania	Data świadectwa wzorcowania
D-10	Leica	Dalmierz Leica Disto D510	1042956690	4609.13-M11-4180-1748/14	9 stycznia 2015

Data ważności świadectwa wzorcowania: 9 stycznia 2025 (zgodnie z procedurą wewnętrzną P-03).

9. Wyniki pomiarów

Pole elektryczne

Nr pionu	Opis umiejscowienia pionu (punktu) pomiarowego	Wysokość pomiaru [m]	Zmierzona wartość natężenia pola elektrycznego E [V/m] ^{1,5}	Wartość natężenia pola elektrycznego po uwzględnieniu poprawek pomiarowych powiększona o niepewność pomiaru ⁴ E [V/m]	Wskaźnikowa wartość poziomu emisji pól elektromagnetycznych WM^3	Współrzędne geograficzne pionu (punktu) pomiarowego ²
1	GKP w odległości 8m od anteny sektorowej az. 355°	2,0	1,7	3.1	0.11	51°5'6.359" 17°1'14.16"
2	GKP w odległości 28m od anteny sektorowej az. 355°	2,0	1,6	2.9	0.1	51°5'7.079" 17°1'14.16"
3	GKP w odległości 40m od anteny sektorowej az. 355°	2,0	1,4	2.5	0.09	51°5'7.439" 17°1'14.16"
4	GKP w odległości 68m od anteny sektorowej az. 355°	2,0	2,1	3.8	0.14	51°5'8.52" 17°1'14.16"
5	GKP w odległości 13m od anteny sektorowej az. 110°	2,0	1,6	2.9	0.1	51°5'6" 17°1'14.88"

Sprawozdanie z badań bez pisemnej zgody laboratorium nie może być powielane inaczej niż w całości.

Wynik przedstawione w niniejszym sprawozdaniu odnoszą się wyłącznie do badanego obiektu i do warunków i konfiguracji urządzeń w dniu wykonywania pomiarów.

6	GKP w odległości 33m od anteny sektorowej az. 110°	2,0	2,3	4.1	0.15	51°5'5.639" 17°1'15.96"
7	GKP w odległości 53m od anteny sektorowej az. 110°	2,0	1,8	3.2	0.12	51°5'5.639" 17°1'17.039"
8	GKP w odległości 73m od anteny sektorowej az. 110°	2,0	1,9	3.4	0.12	51°5'5.28" 17°1'17.759"
9	GKP w odległości 8m od anteny sektorowej az. 230°	2,0	1,8	3.2	0.12	51°5'6" 17°1'13.799"
10	GKP w odległości 28m od anteny sektorowej az. 230°	2,0	2,2	4	0.14	51°5'5.639" 17°1'13.079"
11	GKP w odległości 48m od anteny sektorowej az. 230°	2,0	1,9	3.4	0.12	51°5'5.28" 17°1'12.359"
12	PPP w wejściu na teren opuszczonej posesji ul. Al. Wiśniowa 65	2,0	1,6	2.9	0.1	51°5'4.56" 17°1'11.28"
13	PPP trybuny stadionu piłkarskiego	2,0	1,8	3.2	0.12	51°5'9.599" 17°1'14.52"
14	PPP 1m od narożnika budynku socjalnego stadionu piłkarskiego	2,0	2,1	3.8	0.14	51°5'10.68" 17°1'15.6"
15	PPP boisko piłkarskie	2,0	1,4	2.5	0.09	51°5'6.72" 17°1'15.96"
16	PPP w wejściu na teren zamkniętej posesji ul. Al. Wiśniowa 67	2,0	2,2	4	0.14	51°5'4.56" 17°1'11.999"
17	PPP 1m od narożnika garażu	2,0	1,5	2.7	0.1	51°5'6.72" 17°1'10.56"
-	GKP w odległości 194m od anteny sektorowej az. 355°	2,0	1,4	2.5	0.09	51°5'12.479" 17°1'13.439"
-	GKP w odległości 290m od anteny sektorowej az. 355°	0,3-2,0	<1,0	1.8	0.06	51°5'15.36" 17°1'13.079"
-	GKP w odległości 152m od anteny sektorowej az. 110°	2,0	1,4	2.5	0.09	51°5'4.56" 17°1'21.72"
-	GKP w odległości 302m od anteny sektorowej az. 110°	2,0	1,3	2.3	0.08	51°5'2.759" 17°1'28.919"
-	GKP w odległości 182m od anteny sektorowej az. 230°	0,3-2,0	<1,0	1.8	0.06	51°5'2.4" 17°1'6.959"
-	GKP w odległości 300m od anteny sektorowej az. 230°	0,3-2,0	<1,0	1.8	0.06	51°4'59.88" 17°1'2.279"

Sprawozdanie z badań bez pisemnej zgody laboratorium nie może być powielane inaczej niż w całości.
Wynik przedstawione w niniejszym sprawozdaniu odnoszą się wyłącznie do badanego obiektu i do warunków i konfiguracji urządzeń w dniu wykonywania pomiarów.

Pole magnetyczne (wyznaczone na podstawie pomiaru wartości natężenia pola elektrycznego)

Nr pionu	Opis umiejscowienia pionu (punktu) pomiarowego	Wysokość pomiaru [m]	Wartość natężenia pola magnetycznego H [A/m] ¹	Wartość natężenia pola magnetycznego po uwzględnieniu poprawek pomiarowych powiększona o niepewność pomiaru ⁴ H [A/m]	Wskaźnikowa wartość poziomu emisji pól elektromagnetycznych WM _H ³	Współrzędne geograficzne pionu (punktu) pomiarowego ²
1	GKP w odległości 8m od anteny sektorowej az. 355°	2,0	0.005	0.008	0.11	51°5'6.359" 17°1'14.16"
2	GKP w odległości 28m od anteny sektorowej az. 355°	2,0	0.004	0.008	0.1	51°5'7.079" 17°1'14.16"
3	GKP w odległości 40m od anteny sektorowej az. 355°	2,0	0.004	0.007	0.09	51°5'7.439" 17°1'14.16"
4	GKP w odległości 68m od anteny sektorowej az. 355°	2,0	0.006	0.01	0.14	51°5'8.52" 17°1'14.16"
5	GKP w odległości 13m od anteny sektorowej az. 110°	2,0	0.004	0.008	0.1	51°5'6" 17°1'14.88"
6	GKP w odległości 33m od anteny sektorowej az. 110°	2,0	0.006	0.011	0.15	51°5'5.639" 17°1'15.96"
7	GKP w odległości 53m od anteny sektorowej az. 110°	2,0	0.005	0.009	0.12	51°5'5.639" 17°1'17.039"
8	GKP w odległości 73m od anteny sektorowej az. 110°	2,0	0.005	0.009	0.12	51°5'5.28" 17°1'17.759"
9	GKP w odległości 8m od anteny sektorowej az. 230°	2,0	0.005	0.009	0.12	51°5'6" 17°1'13.799"
10	GKP w odległości 28m od anteny sektorowej az. 230°	2,0	0.006	0.011	0.14	51°5'5.639" 17°1'13.079"
11	GKP w odległości 48m od anteny sektorowej az. 230°	2,0	0.005	0.009	0.12	51°5'5.28" 17°1'12.359"
12	PPP w wejściu na teren opuszczonej posesji ul. Al. Wiśniowa 65	2,0	0.004	0.008	0.1	51°5'4.56" 17°1'11.28"
13	PPP trybuny stadionu piłkarskiego	2,0	0.005	0.009	0.12	51°5'9.599" 17°1'14.52"
14	PPP 1m od narożnika budynku socjalnego stadionu piłkarskiego	2,0	0.006	0.01	0.14	51°5'10.68" 17°1'15.6"
15	PPP boisko piłkarskie	2,0	0.004	0.007	0.09	51°5'6.72" 17°1'15.96"
16	PPP w wejściu na teren zamkniętej posesji ul. Al. Wiśniowa 67	2,0	0.006	0.011	0.14	51°5'4.56" 17°1'11.999"
17	PPP 1m od narożnika garażu	2,0	0.004	0.007	0.1	51°5'6.72" 17°1'10.56"
-	GKP w odległości 194m od anteny sektorowej az. 355°	2,0	0.004	0.007	0.09	51°5'12.479" 17°1'13.439"

Sprawozdanie z badań bez pisemnej zgody laboratorium nie może być powielane inaczej niż w całości.
Wynik przedstawione w niniejszym sprawozdaniu odnoszą się wyłącznie do badanego obiektu i do warunków i konfiguracji urządzeń w dniu wykonywania pomiarów.

-	GKP w odległości 290m od anteny sektorowej az. 355°	0,3-2,0	<0.003*	0.005	0.07	51°5'15.36" 17°1'13.079"
-	GKP w odległości 152m od anteny sektorowej az. 110°	2,0	0.004	0.007	0.09	51°5'4.56" 17°1'21.72"
-	GKP w odległości 302m od anteny sektorowej az. 110°	2,0	0.003	0.006	0.09	51°5'2.759" 17°1'28.919"
-	GKP w odległości 182m od anteny sektorowej az. 230°	0,3-2,0	<0.003*	0.005	0.07	51°5'2.4" 17°1'6.959"
-	GKP w odległości 300m od anteny sektorowej az. 230°	0,3-2,0	<0.003*	0.005	0.07	51°4'59.88" 17°1'2.279"

GKP – Główny Kierunek Pomiarowy

PPP – Pomocniczy Pion pomiarowy

¹ wyniki oznaczone * są wynikami poniżej czułości zestawu pomiarowego

² współrzędne geograficzne pozyskane metodą obliczeniową w oparciu o pomiar punktu referencyjnego

³ do wyznaczenia wartości wskaźnikowej WM_E i WM_H przyjęto na podstawie uzgodnień z klientem oraz rozpoznania źródeł, jako wartości dopuszczalne pola elektrycznego i magnetycznego odpowiednio 28 V/m i 0,073 A/m.

⁴ do wyznaczenia niepewności dla wyników poniżej czułości zestawu pomiarowego, przyjęto niepewność dla minimalnej wartości z zakresu pomiarowego.

⁵ maksymalna wartość chwilowa

Niepewność oszacowano zgodnie z dokumentem P-03 „Procedura nadzoru nad wyposażeniem” w postaci niepewności rozszerzonej wynikającej z niepewności standardowej pomnożonej przez współczynnik rozszerzenia k=2.

Całkowita szacowana niepewność rozszerzona składowej E wynosi odpowiednio: 28.8% dla częstotliwości do 3 GHz

Dla przedmiotowych pomiarów zleceniodawca określił poprawkę pomiarową = 1.4.

Umiejscowienie pionów (punktów) pomiarowych przedstawiono w nr 2 do niniejszego sprawozdania.

10. Omówienie wyników pomiarów

Wyniki pomiarów uzyskane zostały przy uwzględnieniu poprawek pomiarowych przekazanych przez zleceniodawcę, umożliwiających uwzględnienie maksymalnych parametrów pracy instalacji zleceniodawcy oraz innych operatorów występujących w obszarze pomiarowym.

W wyniku zastosowania sposobu sprawdzenia dotrzymania dopuszczalnych poziomów pól elektromagnetycznych w środowisku, zgodnie pkt 25 ppkt 1 Rozporządzenia Ministra Klimatu z dnia 17 lutego 2020 r. (Dz. U. 2020, poz. 258), w związku z tym, że żadna z wartości wskaźnikowych, udokumentowanych w tabelach w pkt. 9 nie przekracza wartości 1, stwierdza się, że w miejscowościach, w których wykonano pomiary w otoczeniu instalacji radiokomunikacyjnej 46277 (76277N!) PWR_WROCLAW_SZTABOWA, dopuszczalne poziomy pól elektromagnetycznych w środowisku należy uznać za dotrzymane.

11. Podstawa prawna

- 1) Ustawa z dnia 27 kwietnia 2001 r. Prawo ochrony środowiska (t. j. Dz. U. z 2020 r., poz. 1219 z późn.zm.)
- 2) Rozporządzenie Ministra Zdrowia z dnia 17 grudnia 2019 r. w sprawie dopuszczalnych poziomów pól elektromagnetycznych w środowisku (Dz. U. 2019, poz. 2448)
- 3) Rozporządzenie Ministra Klimatu z dnia 17 lutego 2020 r. w sprawie sposobów sprawdzania dotrzymania dopuszczalnych poziomów pól elektromagnetycznych w środowisku (Dz. U. 2020, poz. 258),
- 4) Akredytacja nr AB 419 wydana przez Polskie Centrum Akredytacji (wydanie 17, z dnia 13 stycznia 2021r.).

12. Spis załączników

Załącznik 1. Lokalizacja obiektu badań

Załącznik 2. Usytuowanie pionów (punktów) pomiarowych

Załącznik 3. Dokumentacja fotograficzna obiektu badań

Sprawozdanie z badań bez pisemnej zgody laboratorium nie może być powielane inaczej niż w całości.

Wynik przedstawione w niniejszym sprawozdaniu odnoszą się wyłącznie do badanego obiektu i do warunków i konfiguracji urządzeń w dniu wykonywania pomiarów.

13. Data wydania i autoryzowania sprawozdania

Obliczenia i sprawozdanie wykonał :

Sprawozdanie autoryzował:



Signed by /
Podpisano przez:

Agnieszka
Wachowicz

Date / Data: 2021-
09-28 17:20

Koniec sprawozdania



Signed by /
Podpisano przez:

Łukasz Kosznik

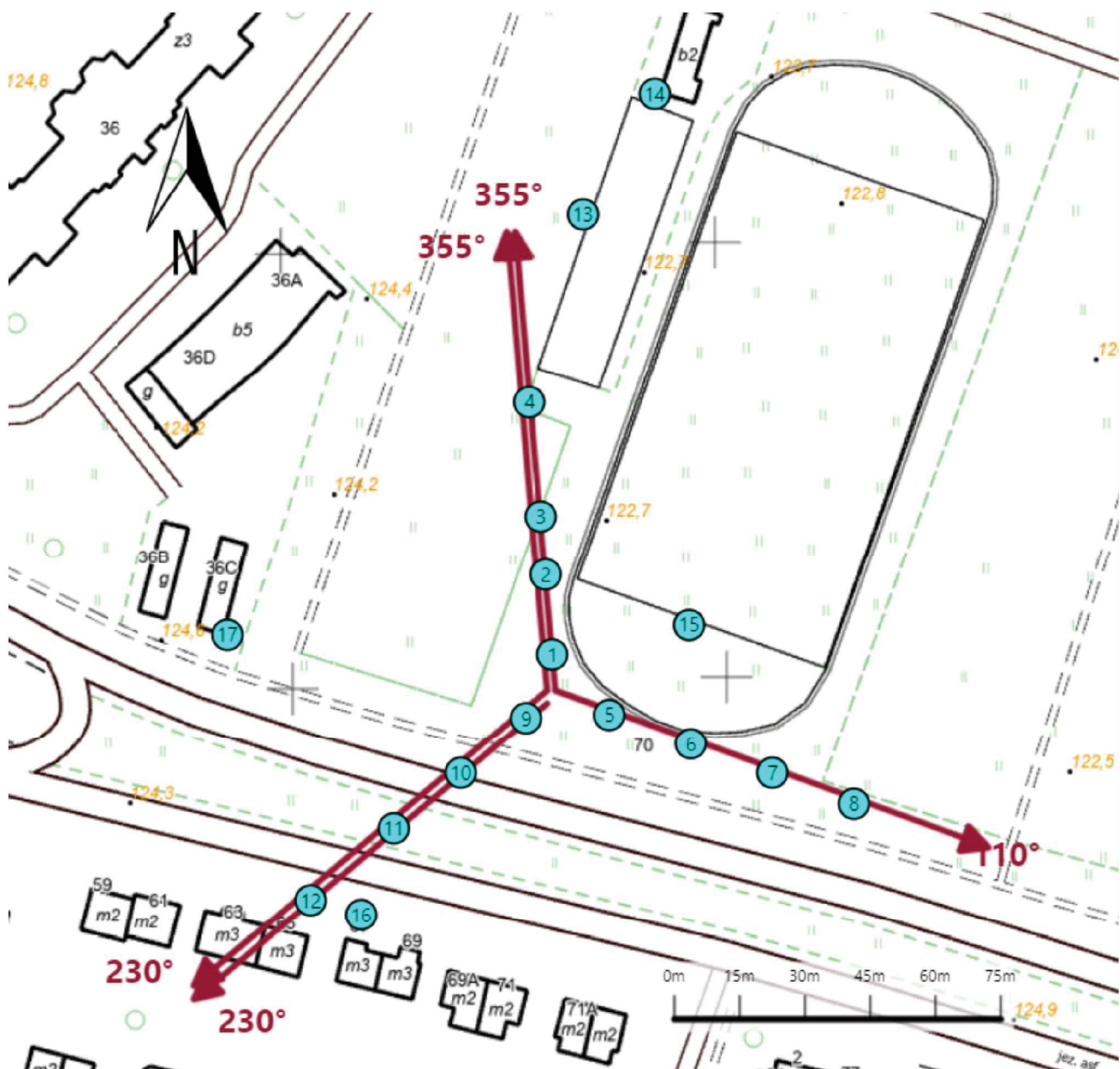
Date / Data:
2021-09-30
09:54

Sprawozdanie z badań bez pisemnej zgody laboratorium nie może być powielane inaczej niż w całości.
Wynik przedstawione w niniejszym sprawozdaniu odnoszą się wyłącznie do badanego obiektu i do warunków i konfiguracji
urządzeń w dniu wykonywania pomiarów.



Załącznik nr 1	Instalacja radiokomunikacyjna T-Mobile Polska S.A. 46277 (76277N!) PWR_WROCLAW_SZTABOWA Lokalizacja stacji
----------------	---

Sprawozdanie z badań bez pisemnej zgody laboratorium nie może być powielane inaczej niż w całości.
Wynik przedstawione w niniejszym sprawozdaniu odnoszą się wyłącznie do badanego obiektu i do warunków i konfiguracji urządzeń w dniu wykonywania pomiarów.



Załącznik nr 2	<p>Instalacja radiokomunikacyjna T-Mobile Polska S.A. 46277 (76277N!) PWR_WROCLAW_SZTABOWA</p> <p>Usytuowanie pionów pomiarowych w otoczeniu instalacji radiokomunikacyjnej</p>			
	<p><i>Legenda:</i></p>  <table style="width: 100%; border-collapse: collapse;"> <tr> <td style="text-align: center;">Pion pomiarowy</td> <td style="text-align: center;">Kierunek oddziaływania anten sektorowych</td> <td style="text-align: center;">Kierunek oddziaływanie anten radioliniowych</td> </tr> </table>	Pion pomiarowy	Kierunek oddziaływania anten sektorowych	Kierunek oddziaływanie anten radioliniowych
Pion pomiarowy	Kierunek oddziaływania anten sektorowych	Kierunek oddziaływanie anten radioliniowych		

Sprawozdanie z badań bez pisemnej zgody laboratorium nie może być powielane inaczej niż w całości. Wynik przedstawione w niniejszym sprawozdaniu odnoszą się wyłącznie do badanego obiektu i do warunków i konfiguracji urządzeń w dniu wykonywania pomiarów.



Załącznik nr 3	Instalacja radiokomunikacyjna T-Mobile Polska S.A. 46277 (76277N!) PWR_WROCLAW_SZTABOWA Dokumentacja fotograficzna
----------------	---

Sprawozdanie z badań bez pisemnej zgody laboratorium nie może być powielane inaczej niż w całości.
Wynik przedstawione w niniejszym sprawozdaniu odnoszą się wyłącznie do badanego obiektu i do warunków i konfiguracji urządzeń w dniu wykonywania pomiarów.